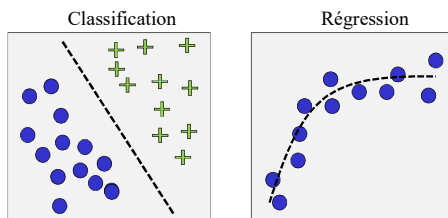


Réseaux de neurones
IFT 780

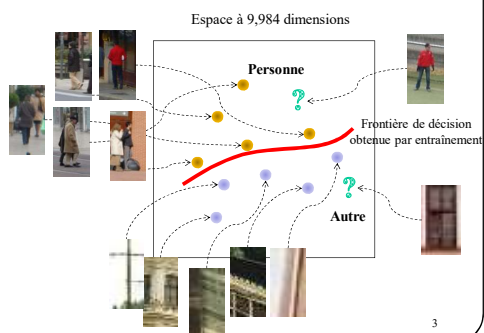
Modèles génératifs
Par
Pierre-Marc Jodoin

Jusqu'à présent : apprentissage supervisé



2

Inria person dataset



3

Apprentissage supervisé

Deux grandes familles d'applications

➤ **Classification** : la cible est un indice de classe $t \in \{1, \dots, K\}$

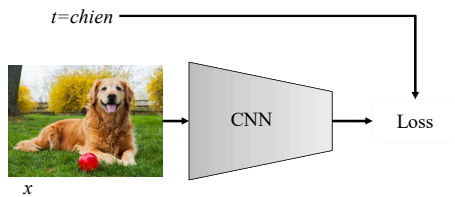
- Exemple : reconnaissance de caractères
 - ✓ \vec{x} : vecteur des intensités de tous les pixels de l'image
 - ✓ t : identité du caractère

➤ **Régression** : la cible est un nombre réel $t \in \mathbb{R}$

- Exemple : prédiction de la valeur d'une action à la bourse
 - ✓ \vec{x} : vecteur contenant l'information sur l'activité économique de la journée
 - ✓ t : valeur d'une action à la bourse le lendemain

4

Apprentissage supervisé avec CNN



Supervisé vs non supervisé

Apprentissage supervisé : il y a une cible

$$D = \{(\vec{x}_1, t_1), (\vec{x}_2, t_2), \dots, (\vec{x}_N, t_N)\}$$

Apprentissage non-supervisé : la cible n'est pas fournie

$$D = \{\vec{x}_1, \vec{x}_2, \dots, \vec{x}_N\}$$

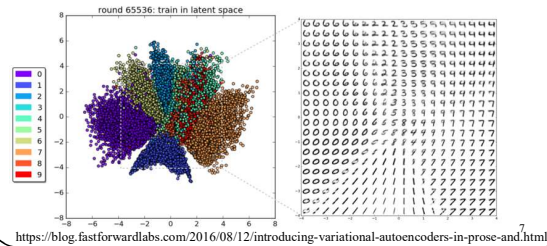
6

Apprentissage non supervisé

Comprendre la distribution sous-jacente de données **non-étiquetées**

Applications : clustering, visualisation, compréhension, etc.

Exemple : visualisation de la distribution des images MNIST

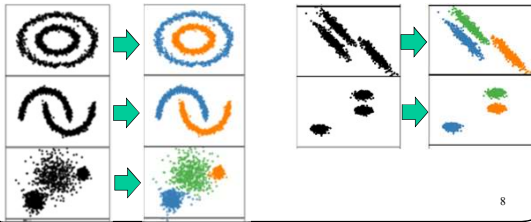


Apprentissage non supervisé

Souvent, l'apprentissage non-supervisé inclut un (ou des) **variables latentes**.

Variable latente: variable aléatoire non observée mais sous-jacente à la distribution des données

Ex: clustering = retrouver la variable latente "cluster"



Pourquoi une variable latente?

Plus facile de représenter $p(\vec{x}, y)$, $p(\vec{x} | y)$, $p(y)$ que $p(\vec{x})$

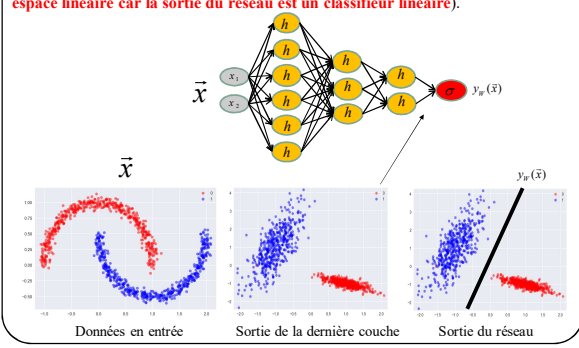
Plus d'info au tableau.

En apprentissage non-supervisé

nous nous appuierons sur
2 propriétés des réseaux de neurones

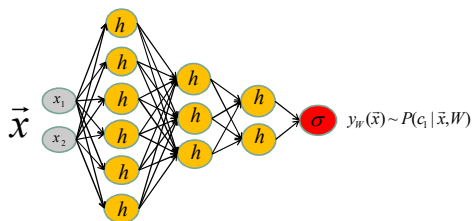
Propriété 1

Les réseaux de neurones sont d'excellentes machines pour projeter des données brutes vers un **espace dimensionnel plus faible** dont les propriétés dépendent de la *loss* (ici **espace linéaire car la sortie du réseau est un classifieur linéaire**).



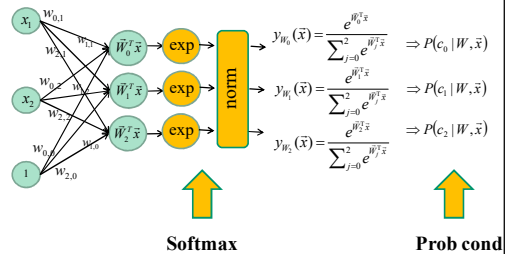
Propriété 2

Les réseaux de neurones sont d'excellentes machines pour estimer des **probabilités conditionnelles**.



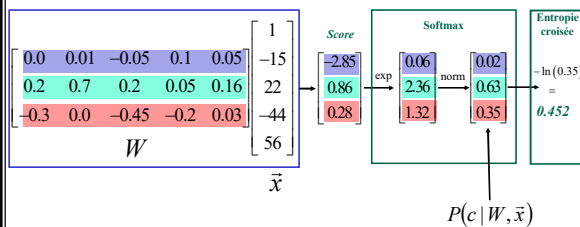
Propriété 2

Les réseaux de neurones sont d'excellentes machines pour estimer des **probabilités conditionnelles**.



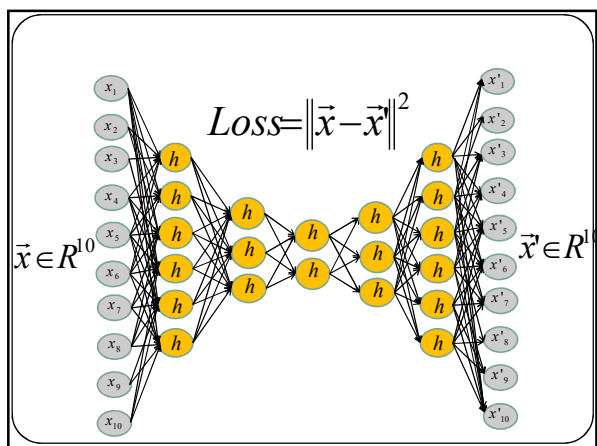
$$\vec{x} = \begin{bmatrix} -15 \\ 22 \\ -44 \\ 56 \end{bmatrix}, t = 2$$

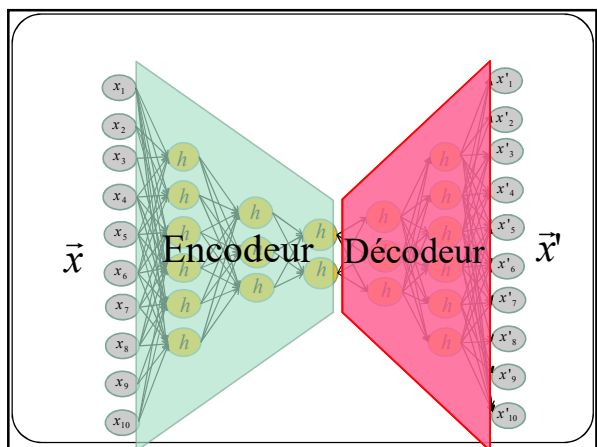
Rappel

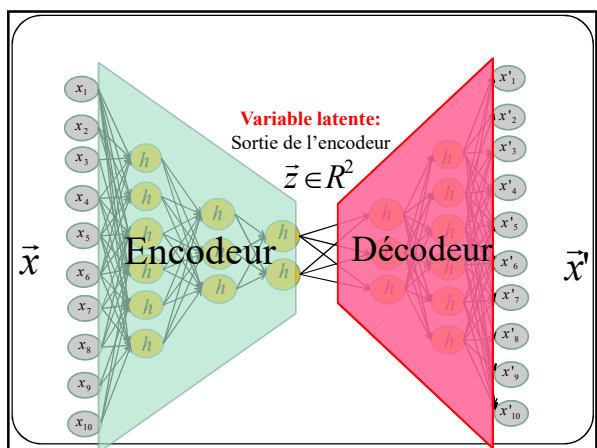


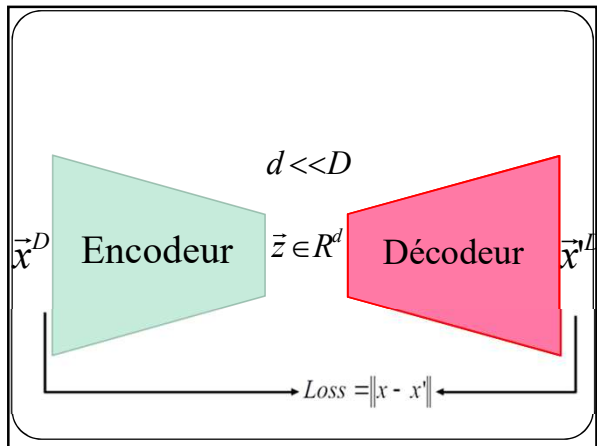
Comment utiliser un réseau de neurones pour apprendre la **configuration sous-jacente** de données non étiquetées?

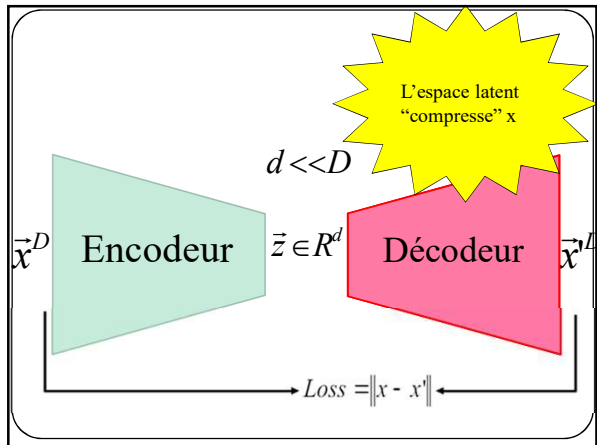


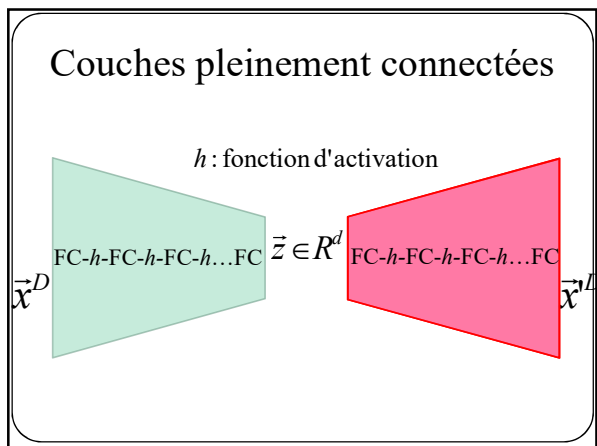


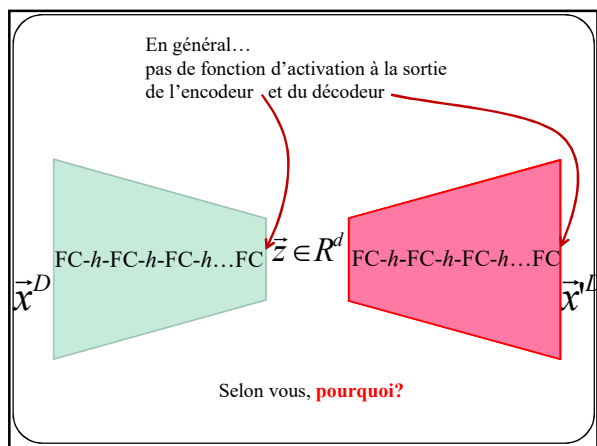


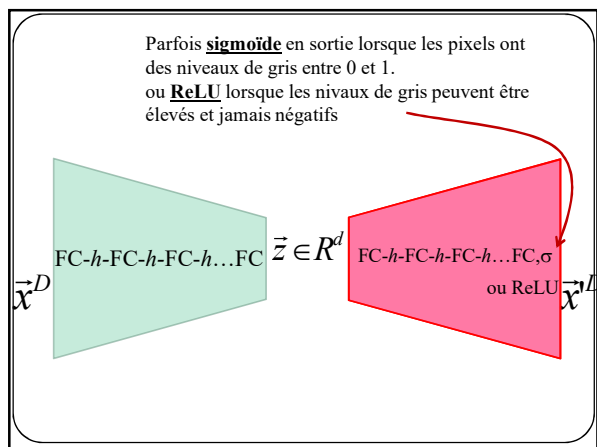


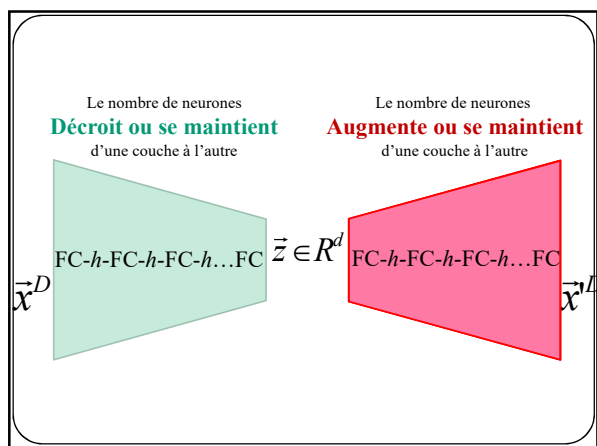




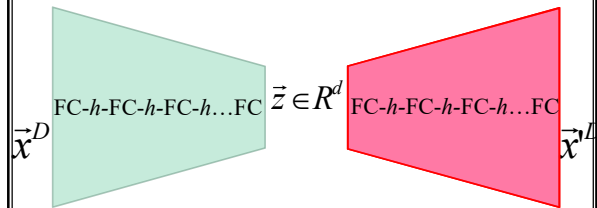








Très souvent...
La structure de l'encodeur est le dual de celle du décodeur



Autoencodeur jouet de MNIST

```
class autoencoder(nn.Module):
    def __init__(self):
        super(autoencoder, self).__init__()
        self.encoder = nn.Sequential(
            nn.Linear(28 * 28, 128), nn.ReLU(True),
            nn.Linear(128, 64), nn.ReLU(True),
            nn.Linear(64, 12), nn.ReLU(True),
            nn.Linear(12, 2))
        self.decoder = nn.Sequential(
            nn.Linear(2, 12), nn.ReLU(True),
            nn.Linear(12, 64), nn.ReLU(True),
            nn.Linear(64, 128), nn.ReLU(True),
            nn.Linear(128, 28 * 28))

    def forward(self, x):
        z = self.encoder(x)
        x_prime = self.decoder(z)
        return x_prime
```

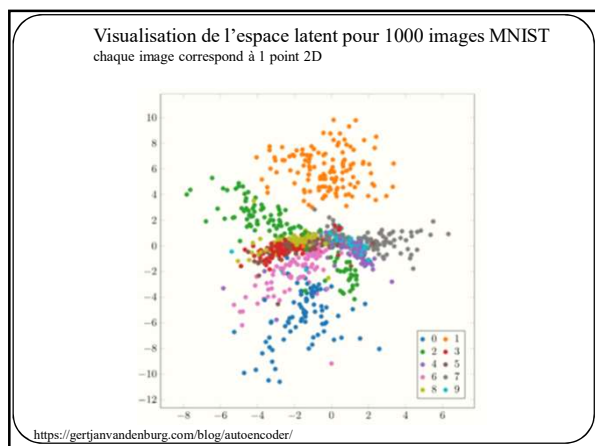
Espace latent 2D

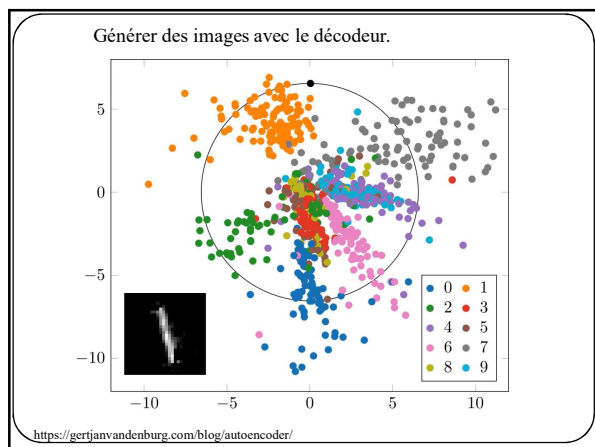
Autoencodeur jouet de MNIST

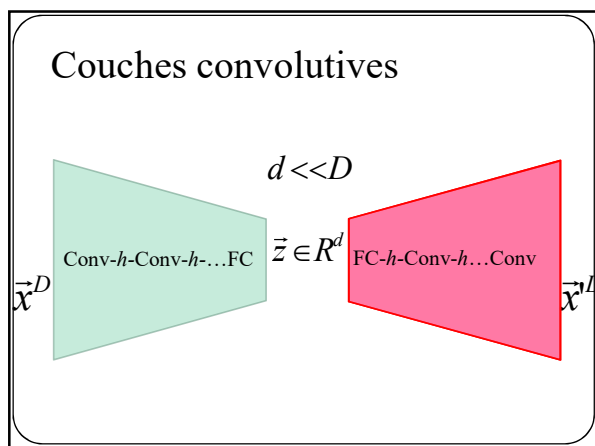
```
class autoencoder(nn.Module):
    def __init__(self):
        super(autoencoder, self).__init__()
        self.encoder = nn.Sequential(
            nn.Linear(28 * 28, 128), nn.ReLU(True),
            nn.Linear(128, 64), nn.ReLU(True),
            nn.Linear(64, 12), nn.ReLU(True),
            nn.Linear(12, 2))
        self.decoder = nn.Sequential(
            nn.Linear(2, 12), nn.ReLU(True),
            nn.Linear(12, 64), nn.ReLU(True),
            nn.Linear(64, 128), nn.ReLU(True),
            nn.Linear(128, 28 * 28))

    def forward(self, x):
        z = self.encoder(x)
        x_prime = self.decoder(z)
        return x_prime
```

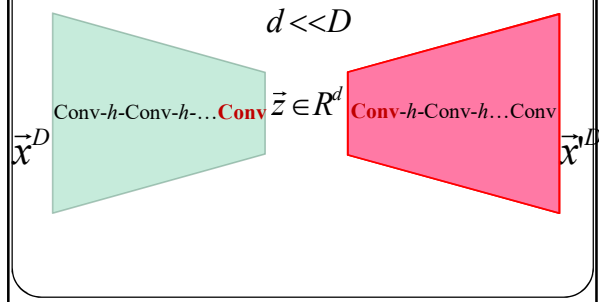
symétrie



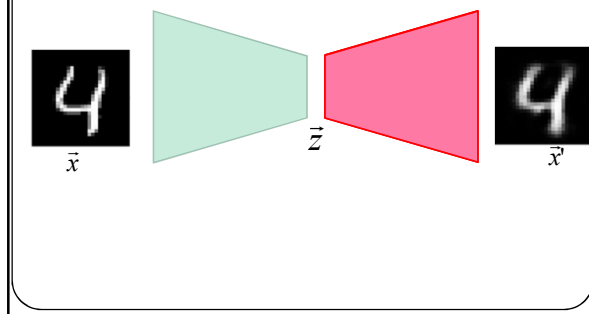




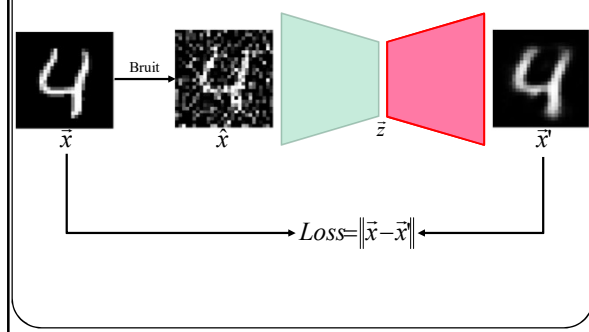
Autoencodeur pleinement convolutif



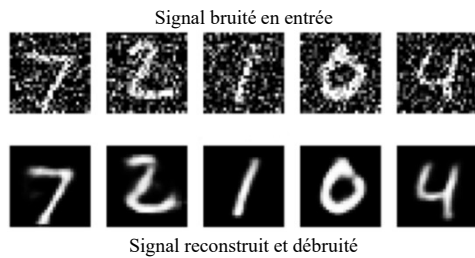
Autoencodeur de base

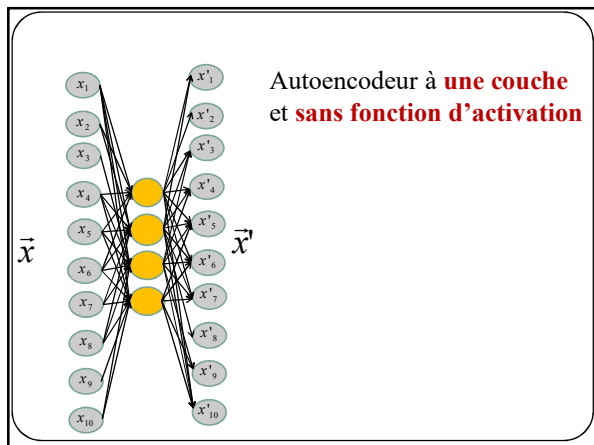


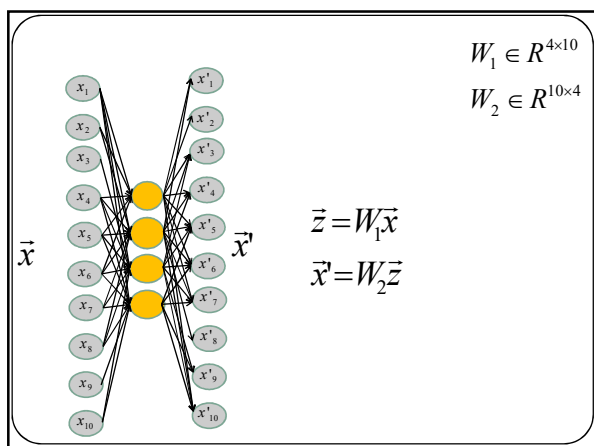
Autoencodeur pour débruitage

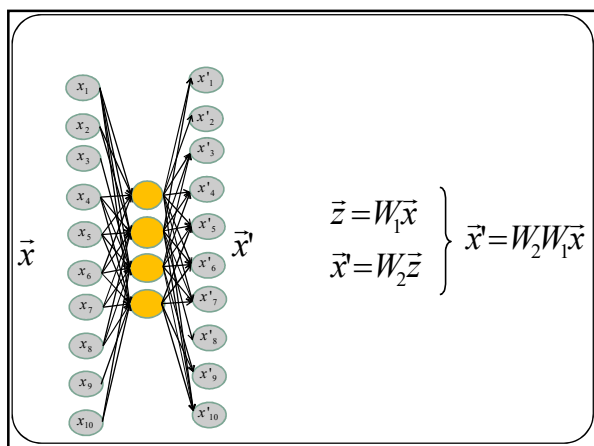


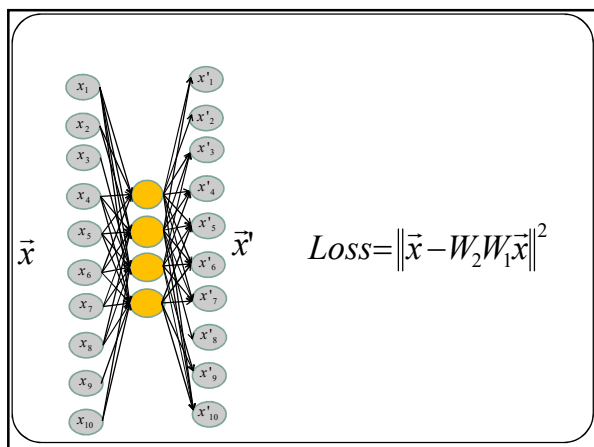
Une fois entraîné...

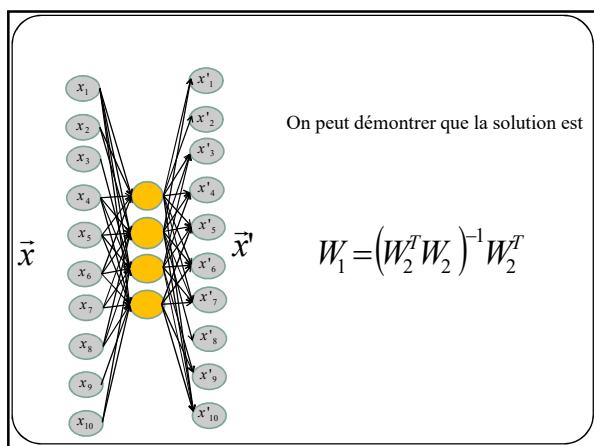


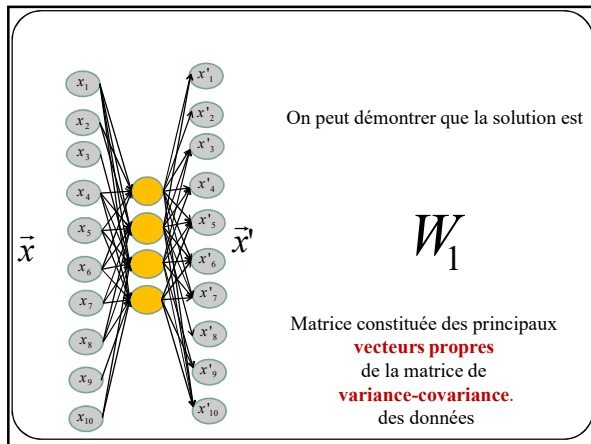


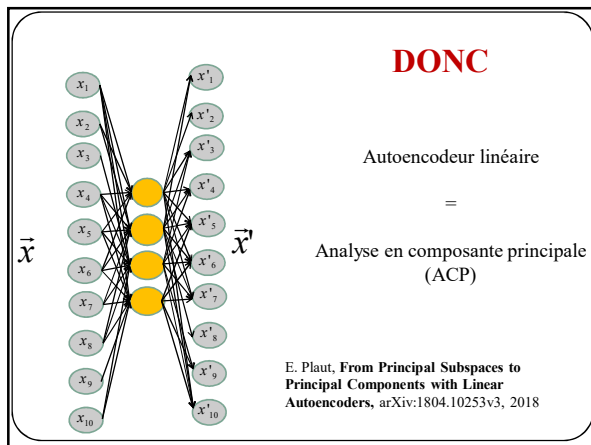


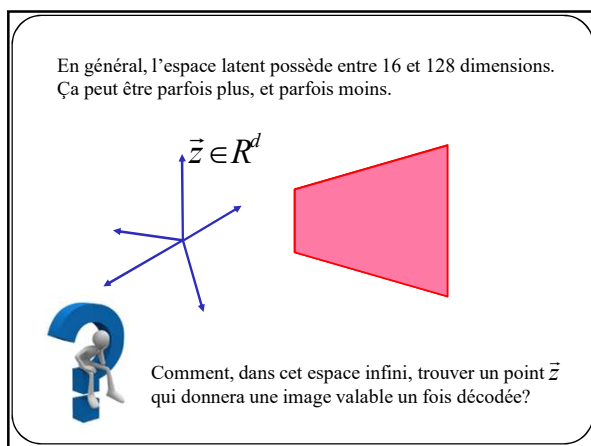




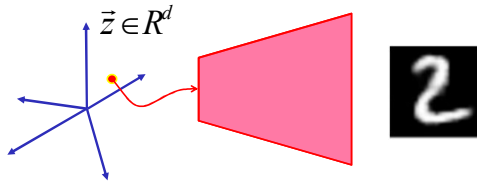




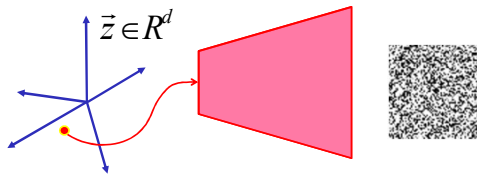




Avec de la chance, on peut sélectionner un point au hasard et reproduire une « bonne » image (ici une image « MNIST »)



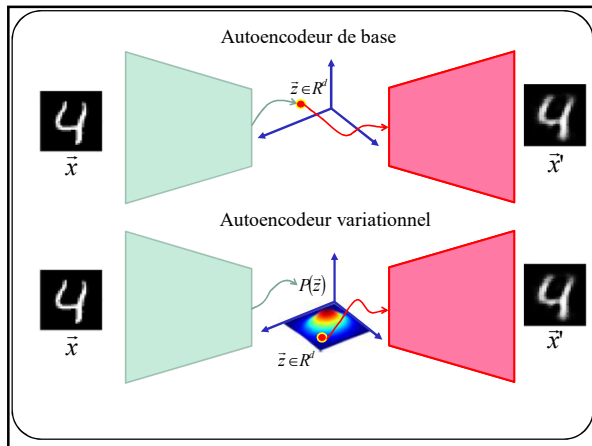
Malheureusement, la vaste majorité du temps, on reproduira du bruit

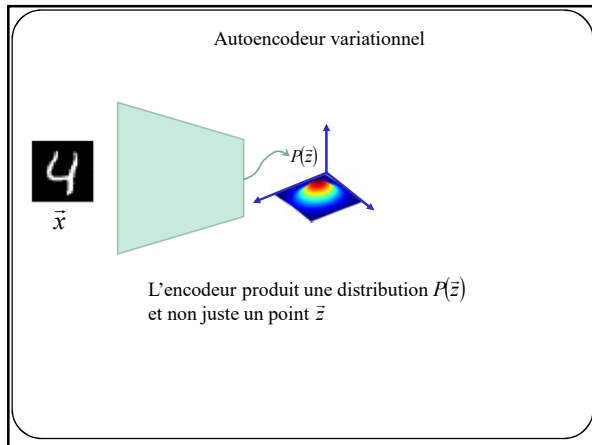


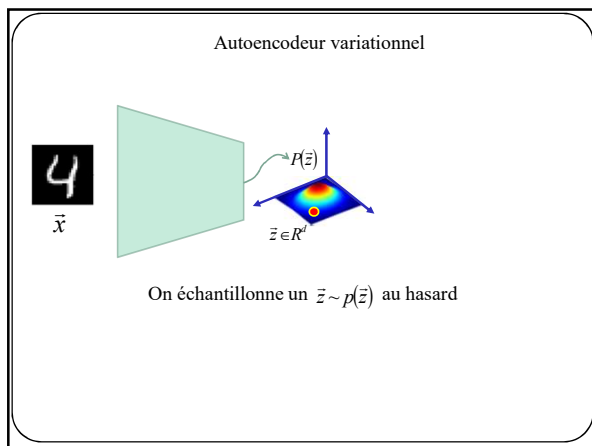
Au lieu d'apprendre à **reproduire un signal d'entrée...**

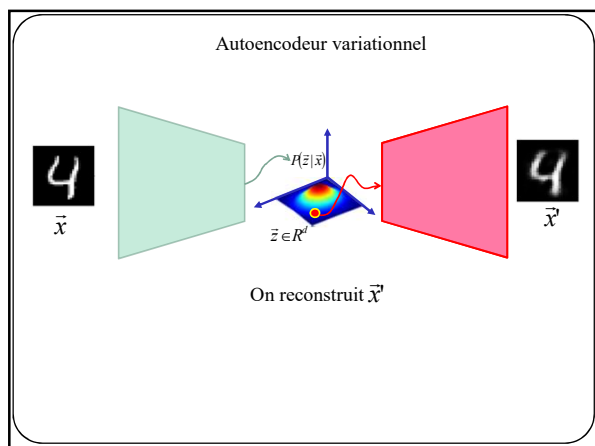


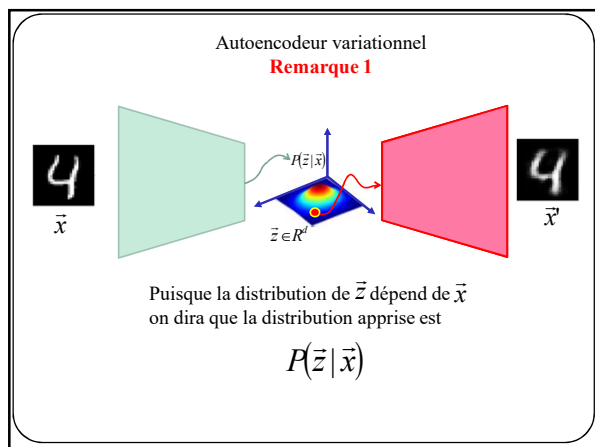
Apprendre à reproduire une **distribution** $p(\tilde{z})$ **connue** de sorte qu'un **point échantillonné et décodé** de cette distribution correspond à un signal reconstruit valable

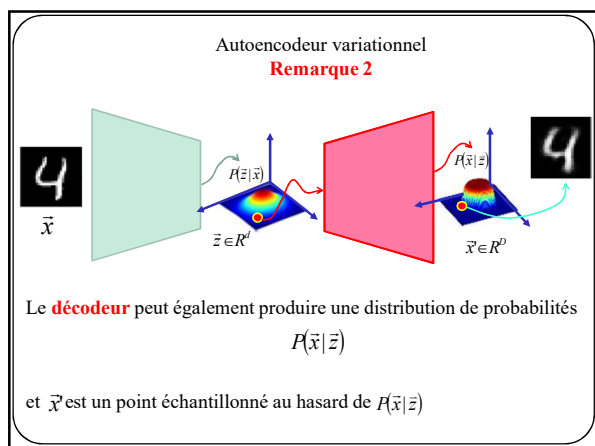












Autoencodeur variationnel
Remarque 3

La distribution $P(\bar{z}|\bar{x})$ peut être très complexe et difficile à échantillonner, on va donc l'approximer par une distribution plus simple... une gaussienne

$$Q(\bar{z}|\bar{x}) \approx P(\bar{z}|\bar{x})$$

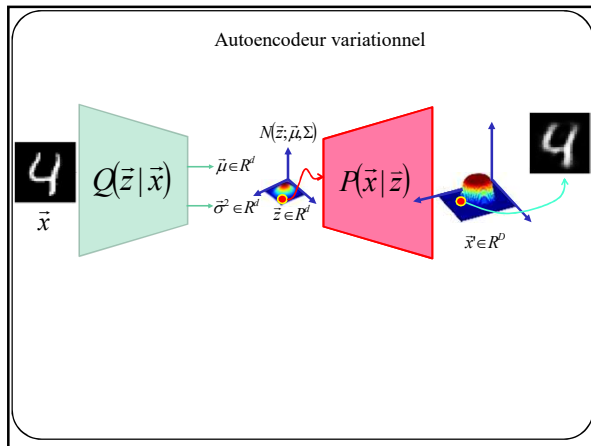
$$Q(\bar{z}|\bar{x}) \sim \text{Gaussienne}$$

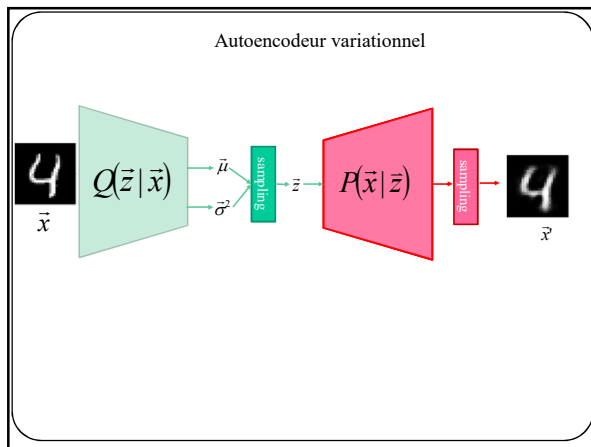
Autoencodeur variationnel
Remarque 4

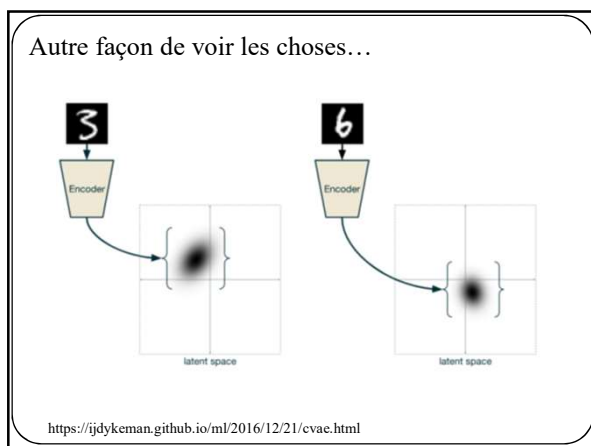
Pour simplifier les calculs, on va supposer que Σ est diagonale

$$\Sigma = \begin{pmatrix} \sigma_1^2 & 0 & 0 & 0 & 0 \\ 0 & \sigma_2^2 & 0 & 0 & 0 \\ 0 & 0 & \sigma_3^2 & 0 & 0 \\ 0 & 0 & 0 & \ddots & 0 \\ 0 & 0 & 0 & 0 & \sigma_d^2 \end{pmatrix}$$

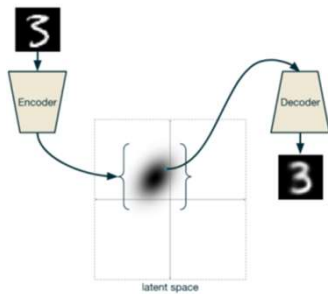
On va donc **prédire un vecteur de variances et non une matrice**







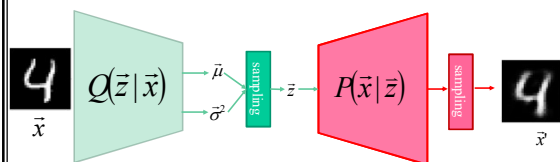
Autre façon de voir les choses...



<https://ijdykeman.github.io/ml/2016/12/21/cvae.html>

Autoencodeur variationnel

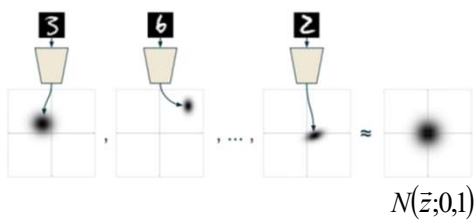
Remarque 5



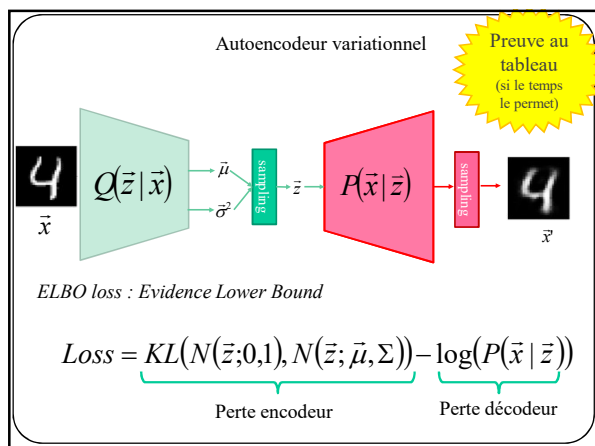
Distribution *a priori* de \bar{z} : gaussienne centrée à 0 et de variance 1

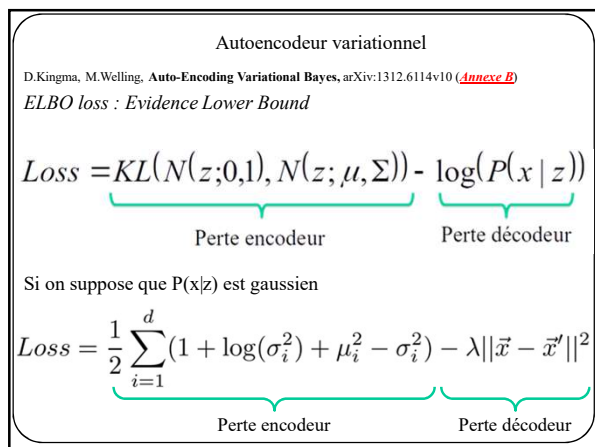
$$P(\bar{z}) = N(\bar{z}; 0, 1)$$

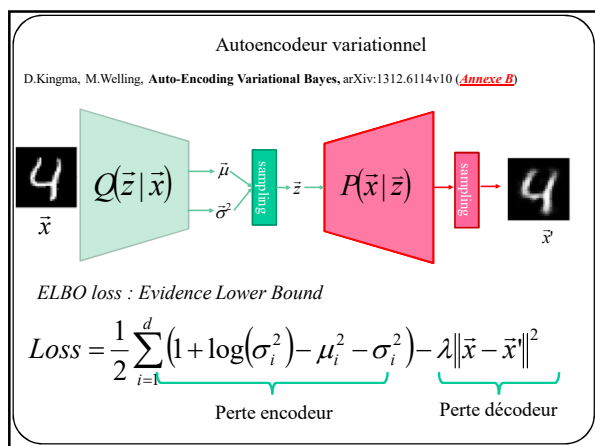
Autre façon de voir les choses...



<https://ijdykeman.github.io/ml/2016/12/21/cvae.html>







Autoencodeur variationnel

D.Kingma, M.Welling, **Auto-Encoding Variational Bayes**, arXiv:1312.6114v10 ([Annexe B](#))

Evidence Lower Bound

$$Loss = \underbrace{KL(N(z;0,1), N(z;\mu,\Sigma))}_{\text{Perte encodeur}} - \underbrace{\log(P(x|z))}_{\text{Perte décodeur}}$$

Only reconstruction loss

Only KL divergence

Combination

<https://www.jeremyjordan.me/variational-autoencoders/>

Autoencodeur variationnel

D.Kingma, M.Welling, **Auto-Encoding Variational Bayes**, arXiv:1312.6114v10 ([Annexe B](#))

ELBO loss : Evidence Lower Bound

Only reconstruction loss

Only KL divergence

Combination

<https://www.jeremyjordan.me/variational-autoencoders/>

Pas gaussien, difficile à échantillonner

Trop gaussien, tout est indistinguable

Ensemble de distributions séparées qui forment une gaussienne

Autoencodeur variationnel

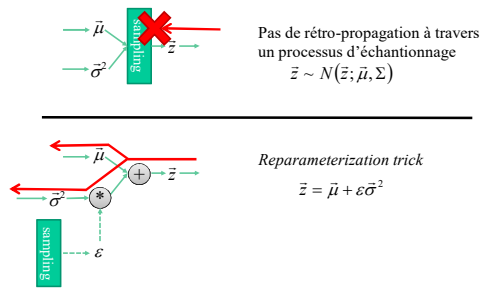
Remarque 6

Pas de rétro-propagation à travers un processus d'échantillonnage

$\tilde{z} \sim N(\tilde{z}; \tilde{\mu}, \Sigma)$

Autoencodeur variationnel

Remarque 6



Autoencodeur variationnel jouet MNIST : d=32 dim

```
class VAE(nn.Module):
    def __init__(self):
        super(VAE, self).__init__()

        self.encoder = nn.Sequential(
            nn.Linear(28 * 28, 128), nn.ReLU(True),
            nn.Linear(128, 64), nn.ReLU(True),
            nn.Linear(64, 32*2)
        )
        self.decoder = nn.Sequential(
            nn.Linear(32, 64), nn.ReLU(True),
            nn.Linear(64, 128), nn.ReLU(True),
            nn.Linear(128, 28 * 28)
        )

    def reparameterize(self, mu, logvar):
        std = torch.exp(0.5*logvar)
        eps = torch.randn_like(std)
        return mu + eps*std

    def forward(self, x):
        enc_x = self.encoder(x)
        mu = enc_x[:, :32]
        logvar = stats[:, 32:]
        z = self.reparameterize(mu, logvar)
        return self.decoder(z), mu, logvar
```

Reparameterization trick

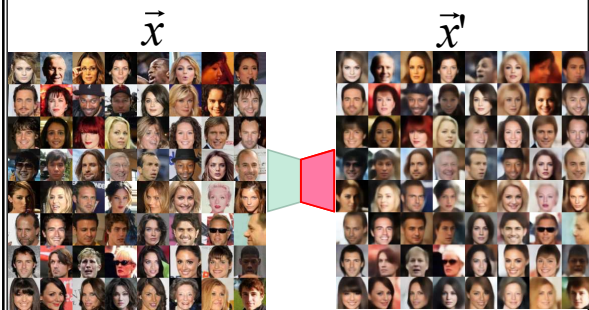
Autoencodeur variationnel jouet MNIST : d=32 dim

```
def loss_function(recon_x, x, mu, logvar):
    BCE = F.binary_cross_entropy(recon_x, x.view(-1, 784), reduction='sum')

    KLD = -0.5 * torch.sum(1 + logvar - mu.pow(2) - logvar.exp())

    return KLD + self.lambda*BCE
```

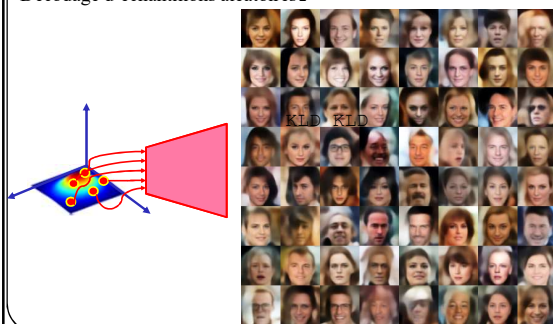
Ex.: base de données *CelebA*



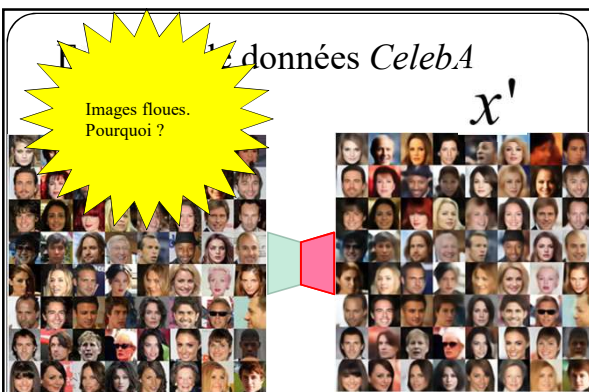
<https://github.com/yizhouwang/celeba>

Ex.: base de données *CelebA*

Décodage d'échantillons aléatoires \vec{z}



<https://github.com/yizhouwang/celeba>



<https://github.com/yizhouwang/celeba>

Plusieurs tutoriels, VAE

- <https://ijdykeman.github.io/ml/2016/12/21/cvae.html>
- <https://wiseodd.github.io/techblog/2016/12/10/variational-autoencoder/>
- <https://towardsdatascience.com/deep-latent-variable-models-unravel-hidden-structures-a5df0fd32ae2>
- C. Doersch, **Tutorial on Variational Autoencoders**, arXiv:1606.05908

GAN

Generative Adversarial Nets

On voudrait générer des images \tilde{x} en échantillonnant $P(\tilde{x})$

=> **TROP DIFFICILE** car $P(\tilde{x})$ trop complexe



Comme précédemment, pour simplifier le problème, on pourrait introduire une variable latente \vec{z} et ainsi modéliser

$$P(\vec{x}, \vec{z}) = P(\vec{x} | \vec{z}) P(\vec{z})$$

Modèle génératif

Distribution *a priori*

Comme pour les VAE, on utilisera une **distribution *a priori*** facile à échantillonner : une **gaussienne**!

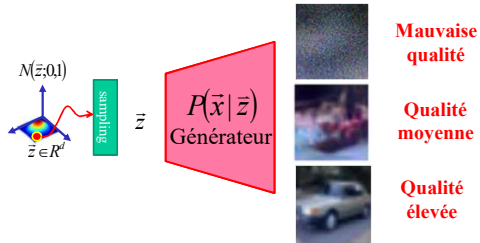
$$P(\vec{z}) = N(\vec{z}; 0, 1)$$

Comment estimer $P(\vec{x} | \vec{z})$?

À l'aide d'un réseau de neurones car ce sont **d'excellentes machines pour estimer des probabilités conditionnelles**

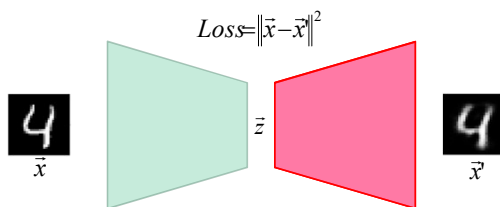


Dépendamment des performances du décodeur, les images générées
seront de **qualité très variable**.



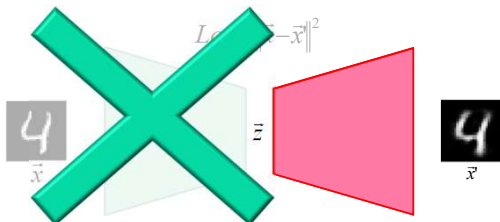
Pour entraîner un décodeur, il faut une **fonction de perte (loss)** qui
mesure la qualité (degré de réalisme) des images produites

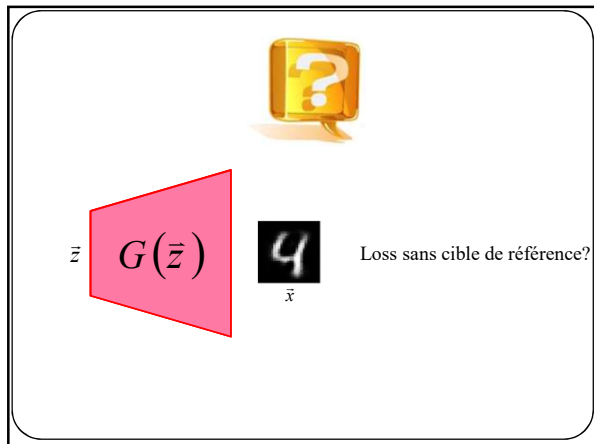
Pour un autoencodeur (variationnel ou non) c'est facile!
car on a un encodeur et une image de référence



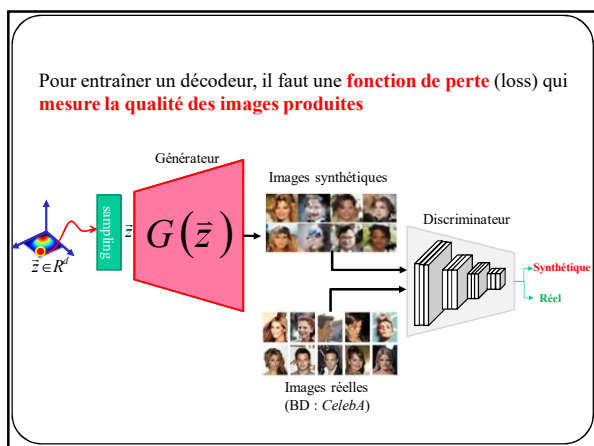
Pour entraîner un décodeur, il faut une **fonction de perte (loss)** qui
mesure la qualité (degré de réalisme) des images produites

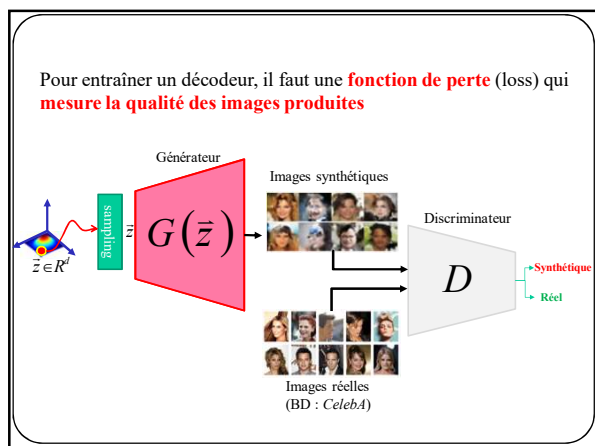
Comment faire pour un réseau **sans encodeur**?

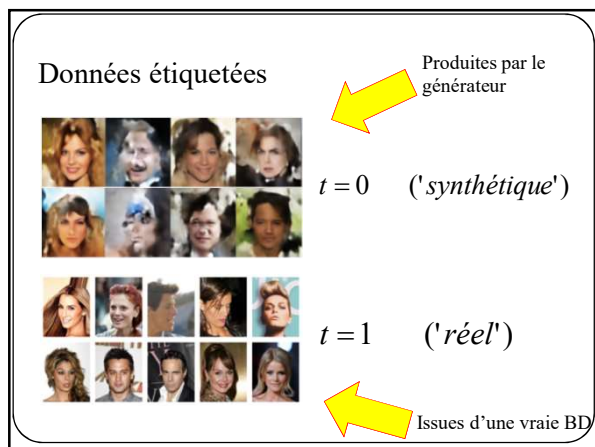


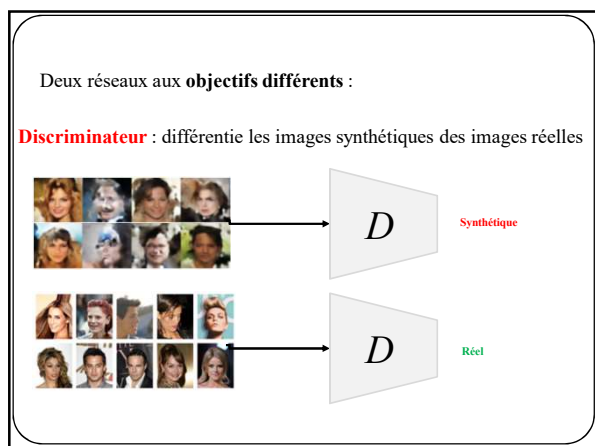






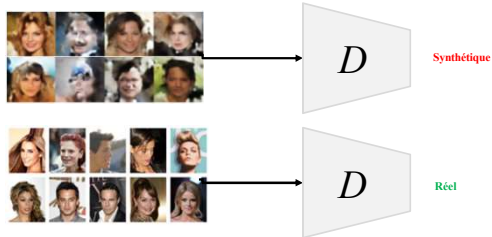






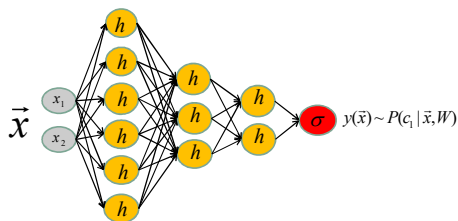
Discriminateur : classifieur binaire (régression logistique)

⇒ Perte l'entropie croisée



Rappel, entropie croisée pour une régression logistique binaire:

$$L_D = \frac{1}{N} \sum_i -t_i \ln(y(\vec{x}_i)) - (1 - t_i) \ln(1 - y(\vec{x}_i))$$



Le réseau discriminateur est représenté par la **lettre D**

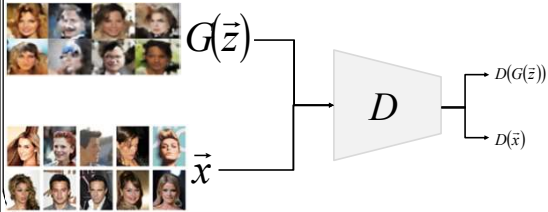
$$L_D = \frac{1}{N} \sum_i -t_i \ln(D(\vec{x}_i)) - (1 - t_i) \ln(1 - D(\vec{x}_i))$$



Puisque les images **synthétiques** ont été générées par le **générateur**

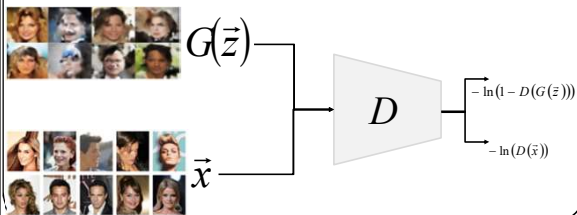
$$L_D = \frac{1}{N} \sum_i -t_i \ln(D(\tilde{x}_i)) - (1-t_i) \ln(1 - D(G(\tilde{z}_i)))$$

↑



Sans perte de généralité, séparer la loss des images réelles et synthétiques

$$L_D = \underbrace{-\frac{1}{N_{reel}} \sum_i \ln(D(\tilde{x}_i))}_{\text{Perte images réelles}} - \underbrace{\frac{1}{N_{syn}} \sum_j \ln(1 - D(G(\tilde{z}_j)))}_{\text{Perte images synthétiques}}$$



Rappel: Espérance mathématique et approximation Monte Carlo

$$IE[x] = \int xp(x)dx$$

$$IE[f(x)] = \int f(x)p(x)dx$$

Rappel: Espérance mathématique et approximation Monte Carlo

**approximation
Monte Carlo**

$$IE[x] = \int xp(x)dx$$

$$\approx \frac{1}{N} \sum_{i=1}^N x_i \quad \text{où } x_i \sim p(x)$$

$$IE[f(x)] = \int f(x)p(x)dx$$

$$\approx \frac{1}{N} \sum_{i=1}^N f(x_i) \quad \text{où } x_i \sim p(x)$$

Rappel: Espérance mathématique et estimateur Monte Carlo

$$L_D = - \underbrace{\frac{1}{N_{reel}} \sum_i \ln(D(\tilde{x}_i))}_{\text{Perte images réelles}} - \underbrace{\frac{1}{N_{syn}} \sum_j \ln(1 - D(G(\tilde{z}_j)))}_{\text{Perte images synthétiques}}$$

$$L_D = -IE_{\tilde{x} \sim p_{reel}} [\ln(D(\tilde{x}))] - IE_{\tilde{z} \sim p_z} [\ln(1 - D(G(\tilde{z})))]$$

(Loss de GAN dans la littérature)

Objectif du discriminateur

Paramètres du discriminateur

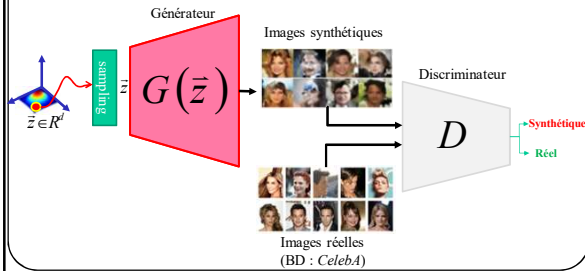
$$W_D = \arg \min_{W_D} -IE_{\tilde{x} \sim p_{reel}} [\ln(D(\tilde{x}))] - IE_{\tilde{z} \sim p_z} [\ln(1 - D(G(\tilde{z})))]$$

Ou encore, de façon équivalente

$$W_D = \arg \max_{W_D} IE_{\tilde{x} \sim p_{reel}} [\ln(D(\tilde{x}))] + IE_{\tilde{z} \sim p_z} [\ln(1 - D(G(\tilde{z})))]$$

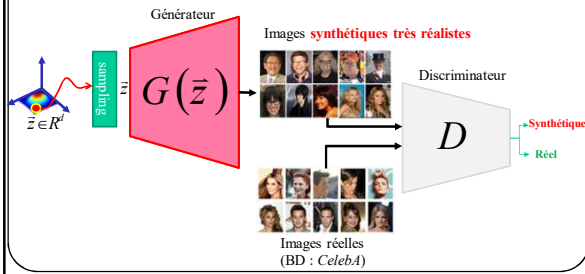
Objectif du générateur

Produire des images aussi réalistes que celle de la BD de référence



Objectif du générateur

S'il y parvient, le discriminateur ne pourra plus les distinguer des images réelles. La loss du discriminateur sera alors élevée.



Objectif du discriminateur :

bien distinguer les images réelles des images synthétiques

$$W_D = \arg \max_{W_D} IE_{\bar{x} \sim P_{real}} [\ln(D(\bar{x}))] + IE_{\bar{z} \sim P_z} [\ln(1 - D(G(\bar{z})))]$$

Objectif du générateur :

produire des images synthétiques indistinguables des images réelles

$$W_G = \arg \min_{W_G} IE_{\bar{z} \sim P_z} [\ln(1 - D(G(\bar{z})))]$$

« Two player » mini-max game

$$\min_G \max_D V(D, G) = \mathbb{E}_{\mathbf{x} \sim p_{\text{data}}(\mathbf{x})} [\log D(\mathbf{x})] + \mathbb{E}_{\mathbf{z} \sim p_z(\mathbf{z})} [\log(1 - D(G(\mathbf{z})))]$$

Ian Goodfellow et al., "Generative Adversarial Nets", NIPS 2014

« Two player » mini-max game

Discriminateur veut
D(x) = 1 pour les vrais
données

Discriminateur veut
D(G(x)) = 0 pour les
données synthétiques

$$\min_G \max_D V(D, G) = \mathbb{E}_{\mathbf{x} \sim p_{\text{data}}(\mathbf{x})} [\log D(\mathbf{x})] + \mathbb{E}_{\mathbf{z} \sim p_z(\mathbf{z})} [\log(1 - D(G(\mathbf{z})))]$$

Générateur veut
D(G(x)) = 1 pour les
données synthétiques

Ian Goodfellow et al., "Generative Adversarial Nets", NIPS 2014

NOTE

dans les faits, on ne minimise pas cette loss

$$W_G = \arg \min_W \mathbb{E}_{\mathbf{z} \sim p_z} [\ln(1 - D(G(\mathbf{z})))]$$

on maximise plutôt celle-ci

$$W_G = \arg \max_W \mathbb{E}_{\mathbf{z} \sim p_z} [\ln(D(G(\mathbf{z})))]$$

for number of training iterations do
for k steps do

- Sample minibatch of m noise samples $\{z^{(1)}, \dots, z^{(m)}\}$ from noise prior $p_z(z)$.
- Sample minibatch of m examples $\{x^{(1)}, \dots, x^{(m)}\}$ from data generating distribution $p_{data}(x)$.
- Update the discriminator by ascending its stochastic gradient:

$$\nabla_{\theta_d} \frac{1}{m} \sum_{i=1}^m [\log D_{\theta_d}(x^{(i)}) + \log(1 - D_{\theta_d}(G_{\theta_g}(z^{(i)})))]$$

end for

- Sample minibatch of m noise samples $\{z^{(1)}, \dots, z^{(m)}\}$ from noise prior $p_z(z)$.
- Update the generator by ascending its stochastic gradient (improved objective):

$$\nabla_{\theta_g} \frac{1}{m} \sum_{i=1}^m \log(D_{\theta_d}(G_{\theta_g}(z^{(i)})))$$

end for

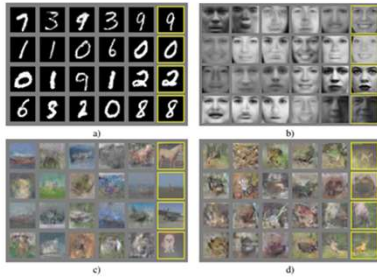
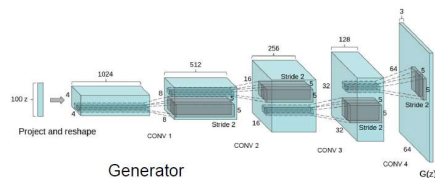


Figure 2: Visualization of samples from the model. Rightmost column shows the nearest training example of the neighboring sample, in order to demonstrate that the model has not memorized the training set. Samples are fair random draws, not cherry-picked. Unlike most other visualizations of deep generative models, these images show actual samples from the model distributions, not conditional means given samples of hidden units. Moreover, these samples are uncorrelated because the sampling process does not depend on Markov chain mixing. a) MNIST b) LFW c) CIFAR-10 (fully connected model) d) CIFAR-10 (convolutional discriminator and "deconvolutional" generator)

Deep Convolution Generative Adversarial Net (DCGAN)



Radford et al., "Unsupervised Representation Learning with Deep Convolutional Generative Adversarial Networks", ICLR 2016

Deep Convolution Generative Adversarial Net (DCGAN)

Recommandations discriminateur

- Conv stride>1 au lieu des couches de pooling
- ReLU partout sauf en sortie : tanh

Recommandations générateur

- Conv transpose au lieu de upsampling
- LeakyReLU partout

Autre recommandations

- BatchNorm partout
- Pas de FC, juste des conv

Radford et al, "Unsupervised Representation Learning with Deep Convolutional Generative Adversarial Networks", ICLR 2016

Deep Convolution Generative Adversarial Net (DCGAN)

Recommandations discriminateur

-
-

Recommandations générateur

-
-

<https://github.com/soumith/ganhacks>

Autre recommandations

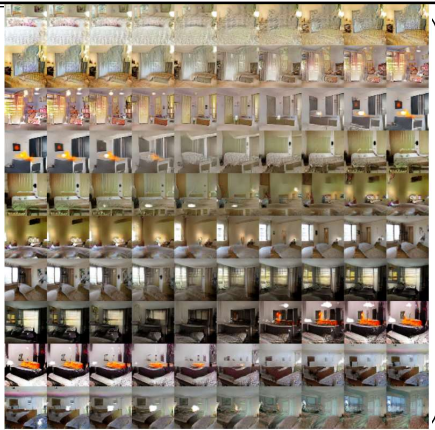
- BatchNorm partout
- Pas de FC, juste des conv

Radford et al, "Unsupervised Representation Learning with Deep Convolutional Generative Adversarial Networks", ICLR 2016

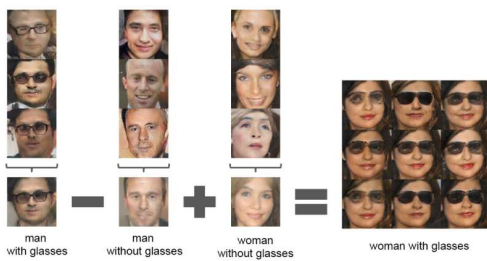
Deep Convolution Generative Adversarial Net (DCGAN)



Interpolation
entre 9 vecteurs
latents aléatoires



“Vector arithmetic for visual concepts”



Problèmes d’instabilité

- Si discriminateur et générateur et n'apprennent pas ensemble:
 - disparition des gradients
 - effondrement des modes
 - on ne peut générer d'images à haute résolution
- Plusieurs solutions proposées:
 - *Wasserstein GAN* (utilise “earth mover distance”)
 - *Least Squares GAN* (utilise distance d'erreur quadratique)
 - *Progressive GAN*
 -

Problèmes d'instabilité

- Si discriminateur et générateur et n'apprennent pas ensemble:
 - **disparition des gradients**
 - effondrement des modes
 - on ne peut générer d'images à haute résolution

Si le discriminateur apprend trop vite, le générateur sera systématiquement battu, et n'apprendra rien

112

Problèmes d'instabilité

- Si discriminateur et générateur et n'apprennent pas ensemble:
 - disparition des gradients
 - **effondrement des modes**
 - on ne peut générer d'images à haute résolution

Le générateur peut apprendre à générer tout le temps la même image qui bat le discriminateur

113

Problèmes d'instabilité

- Si discriminateur et générateur et n'apprennent pas ensemble:
 -
 -
 -



<https://data-science.stackexchange.com/questions/29485/gan-discriminator-converging-to-one-output>

114

LS GAN

Problème des GANs de base

“**sigmoïde** de sortie” **oublie** les exemples correctement classifiés et loin du plan de séparation

$$\max_D V(D) = \mathbb{E}_{\mathbf{x} \sim p_{\text{data}}(\mathbf{x})} [\log D(\mathbf{x})] + \mathbb{E}_{\mathbf{z} \sim p_{\mathbf{z}}(\mathbf{z})} [\log(1 - D(G(\mathbf{z})))]$$

$$\min_G V(G) = \mathbb{E}_{\mathbf{z} \sim p_{\mathbf{z}}(\mathbf{z})} [\log(1 - D(G(\mathbf{z})))] \text{ or } \mathbb{E}_{\mathbf{z} \sim p_{\mathbf{z}}(\mathbf{z})} - [\log D(G(\mathbf{z}))]$$

115

“Least Squares GAN” Mao et al. ICCV’17

LS GAN

Problème des GANs de base

“sigmoïde de sortie” **oublie** les exemples correctement classifiés et loin du plan de séparation

Le discriminateur ne s’entraîne plus lorsque les images synthétiques sont très différentes des images réelles

$$\min_G V(G) = \mathbb{E}_{\mathbf{z} \sim p_{\mathbf{z}}(\mathbf{z})} [\log(1 - D(G(\mathbf{z})))] \text{ or } \mathbb{E}_{\mathbf{z} \sim p_{\mathbf{z}}(\mathbf{z})} - [\log D(G(\mathbf{z}))]$$

116

“Least Squares GAN” Mao et al. ICCV’17

LS GAN

Quand on utilise l’**erreur quadratique**, même les exemples « trop bien classifiés » contribuent aux gradients du générateur. Le but est de rapprocher les images synthétiques des images réelles

Pour LS GAN, la sortie du réseau n’est plus une sigmoïde

$$\min_D V_{\text{LSGAN}}(D) = \frac{1}{2} \mathbb{E}_{\mathbf{x} \sim p_{\text{data}}(\mathbf{x})} [(D(\mathbf{x}) - 1)^2] + \frac{1}{2} \mathbb{E}_{\mathbf{z} \sim p_{\mathbf{z}}(\mathbf{z})} [(D(G(\mathbf{z})))^2]$$

$$\min_G V_{\text{LSGAN}}(G) = \frac{1}{2} \mathbb{E}_{\mathbf{z} \sim p_{\mathbf{z}}(\mathbf{z})} [(D(G(\mathbf{z})) - 1)^2],$$

“Least Squares GAN” Mao et al. ICCV’17

LS GAN



(a) Generated by LSGANs.



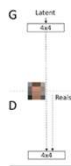
(b) Generated by DCGANs (Reported in [11]).

"Least Squares GAN" Mao et al. ICCV'17

progressive GAN

On veut générer des images à **haute résolution**

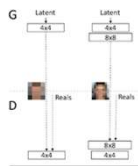
On commence avec des images de **faible résolution : 4x4 pixels**



"Progressive GAN" Karras et al. ICLR'18

progressive GAN

Et progressivement, on augmente la résolution de l'image

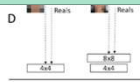


"Progressive GAN" Karras et al. ICLR'18

progressive GAN

Et progressivement, on augmente la résolution de l'image

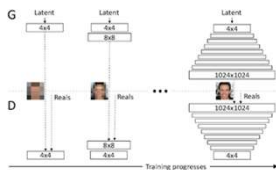
"Progressive Growing GAN requires that the capacity of both the generator and discriminator model be expanded by adding layers during the training process"



"Progressive GAN" Karras et al. ICLR'18

progressive GAN

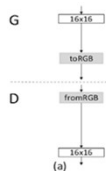
Et progressivement, chaque couche qu'on ajoute vient bonifier la couche précédente : cela se fait à l'aide d'une **opération « résiduelle »**.



"Progressive GAN" Karras et al. ICLR'18

Ajout de couches

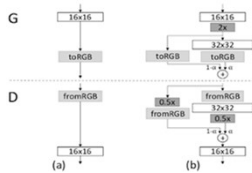
Lorsque l'**entraînement** d'une couche de résolution RxR (ici 16x16) est **terminé**...



"Progressive GAN" Karras et al. ICLR'18

Ajout de couches

... On **ajoute une nouvelle couche** de résolution 2Rx2D (ici 32x32) au générateur ET au discriminateur.

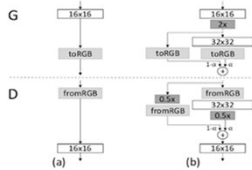


"Progressive GAN" Karras et al. ICLR'18

Ajout de couches

... mais pour éviter un choc, on ajoute une **composante résiduelle** comprenant un facteur α

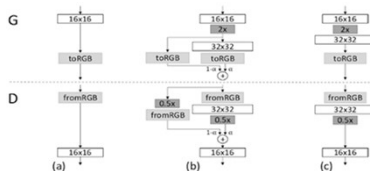
Au début de l'entraînement, $\alpha=0$ et progressivement α augmente pour atteindre $\alpha=1$ à la fin



"Progressive GAN" Karras et al. ICLR'18

Ajout de couches

Lorsque l'entraînement est terminé, on enlève la composante résiduelle.



"Progressive GAN" Karras et al. ICLR'18

“Progressive GAN” Karras et al. ICLR’18

Generator	Act.	Output shape	Params
Latent vector	—	$512 \times 1 \times 1$	—
Conv 4×4	LReLU	$512 \times 4 \times 4$	4.2M
Conv 3×3	LReLU	$512 \times 4 \times 4$	2.4M
Upsample	—	$512 \times 8 \times 8$	—
Conv 3×3	LReLU	$512 \times 8 \times 8$	2.4M
Conv 3×3	LReLU	$512 \times 8 \times 8$	2.4M
Upsample	—	$512 \times 16 \times 16$	—
Conv 3×3	LReLU	$512 \times 16 \times 16$	2.4M
Conv 3×3	LReLU	$512 \times 16 \times 16$	2.4M
Upsample	—	$512 \times 32 \times 32$	—
Conv 3×3	LReLU	$512 \times 32 \times 32$	2.4M
Conv 3×3	LReLU	$512 \times 32 \times 32$	2.4M
Upsample	—	$512 \times 64 \times 64$	—
Conv 3×3	LReLU	$256 \times 64 \times 64$	1.2M
Conv 3×3	LReLU	$256 \times 64 \times 64$	590k
Upsample	—	$256 \times 128 \times 128$	—
Conv 3×3	LReLU	$128 \times 128 \times 128$	295k
Conv 3×3	LReLU	$128 \times 128 \times 128$	148k
Upsample	—	$128 \times 256 \times 256$	—
Conv 3×3	LReLU	$64 \times 256 \times 256$	74k
Conv 3×3	LReLU	$64 \times 256 \times 256$	37k
Upsample	—	$64 \times 512 \times 512$	—
Conv 3×3	LReLU	$32 \times 512 \times 512$	18k
Conv 3×3	LReLU	$32 \times 512 \times 512$	9.2k
Upsample	—	$32 \times 1024 \times 1024$	—
Conv 3×3	LReLU	$16 \times 1024 \times 1024$	4.6k
Conv 3×3	LReLU	$16 \times 1024 \times 1024$	2.3k
Conv 1×1	linear	$3 \times 1024 \times 1024$	51
Total trainable parameters	—	—	23.1M

Discriminator	Act.	Output shape	Params
Input images	—	$3 \times 1024 \times 1024$	—
Conv 1×1	LReLU	$16 \times 1024 \times 1024$	64
Conv 3×3	LReLU	$16 \times 1024 \times 1024$	2.3k
Conv 3×3	LReLU	$32 \times 1024 \times 1024$	4.6k
Downsample	—	$32 \times 512 \times 512$	—
Conv 3×3	LReLU	$32 \times 512 \times 512$	9.2k
Conv 3×3	LReLU	$64 \times 512 \times 512$	18k
Downsample	—	$64 \times 256 \times 256$	—
Conv 3×3	LReLU	$64 \times 256 \times 256$	37k
Conv 3×3	LReLU	$128 \times 256 \times 256$	74k
Downsample	—	$128 \times 128 \times 128$	—
Conv 3×3	LReLU	$128 \times 128 \times 128$	148k
Conv 3×3	LReLU	$256 \times 128 \times 128$	295k
Downsample	—	$256 \times 64 \times 64$	—
Conv 3×3	LReLU	$256 \times 64 \times 64$	590k
Conv 3×3	LReLU	$512 \times 64 \times 64$	1.2M
Downsample	—	$512 \times 32 \times 32$	—
Conv 3×3	LReLU	$512 \times 32 \times 32$	2.4M
Conv 3×3	LReLU	$512 \times 32 \times 32$	2.4M
Downsample	—	$512 \times 16 \times 16$	—
Conv 3×3	LReLU	$512 \times 16 \times 16$	2.4M
Conv 3×3	LReLU	$512 \times 16 \times 16$	2.4M
Downsample	—	$512 \times 8 \times 8$	—
Conv 3×3	LReLU	$512 \times 8 \times 8$	2.4M
Conv 3×3	LReLU	$512 \times 8 \times 8$	2.4M
Downsample	—	$512 \times 4 \times 4$	—
Minibatch stddev	—	$512 \times 4 \times 4$	—
Conv 3×3	LReLU	$512 \times 4 \times 4$	2.4M
Conv 4×4	LReLU	$512 \times 1 \times 1$	4.2M
Fully-connected	linear	$1 \times 1 \times 1$	513
Total trainable parameters	—	—	23.1M

Table 2: Generator and discriminator that we use with CELEBA-HQ to generate 1024×1024 images.

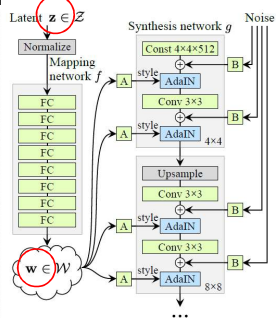
“Progressive GAN” Karras et al. ICLR’18



<https://youtu.be/XOxxPcy5Gr4>

128

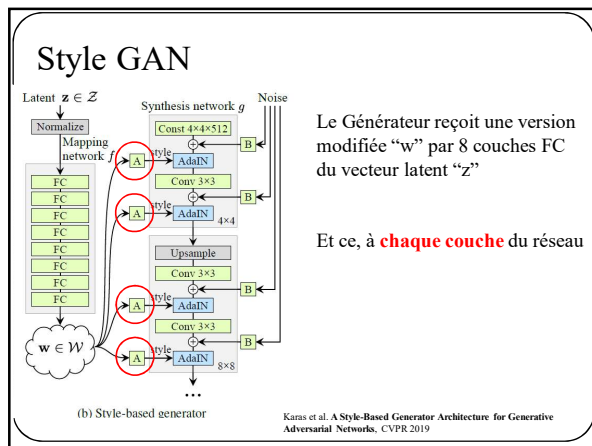
Style GAN

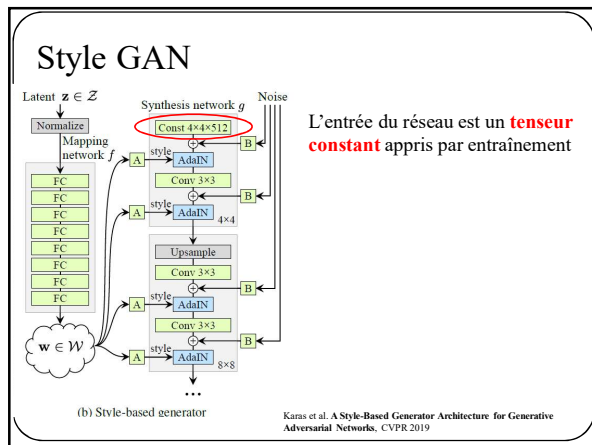


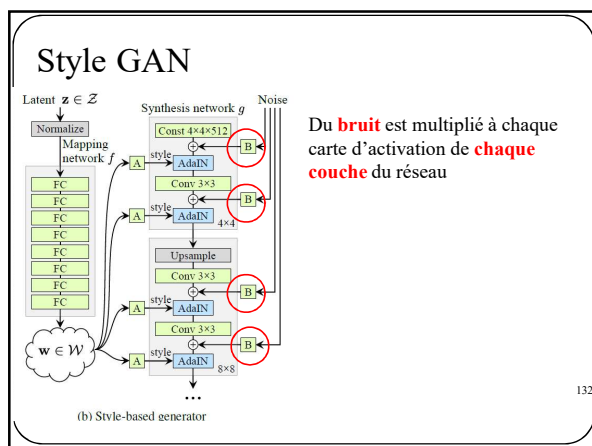
(b) Style-based generator

Karras et al. A Style-Based Generator Architecture for Generative Adversarial Networks, CVPR 2019

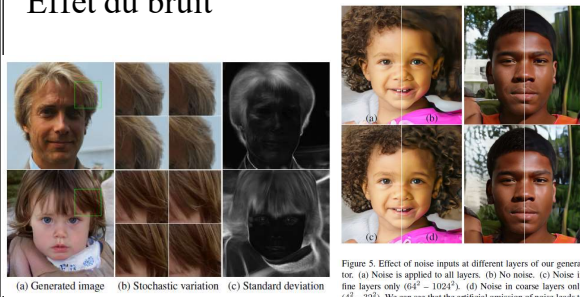
Le Générateur reçoit une version modifiée “w” par 8 couches FC du vecteur latent “z”





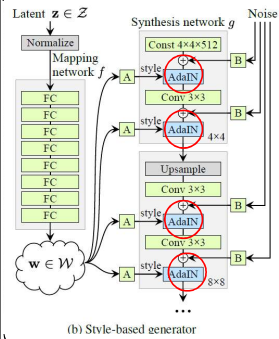


Effet du bruit



Karras et al. A Style-Based Generator Architecture for Generative Adversarial Networks, CVPR 2019

Style GAN



AdaIN: adaptive instance normalization

$$AdaIN(x, y) = \sigma(y) \frac{x - \mu(x)}{\sigma(x)} + \mu(y)$$

Comme du batchNorm, mais dont les 2 opérateurs affines sont fournis par w

Style GAN

Entraînement progressif comme pour **progressive GAN**

Style GAN



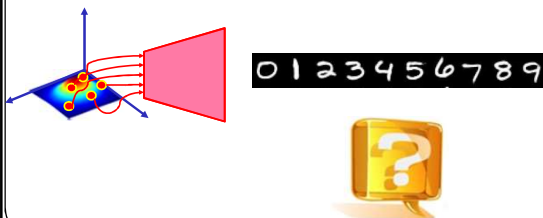
Défi avec les GAN

Soit un GAN entraîné sur MNIST, si je décode **10 vecteurs latents pris au hasard**, j'aurai les images de **10 caractères aléatoires**.



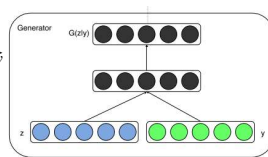
Défi avec les GAN

Question: comment générer des images de catégories prédéterminées? Ex. comment sélectionner 10 vecteurs latent afin de produire la séquence de caractères : 0,1,2,3,4,5,6,7,8,9?



Gan conditionnel

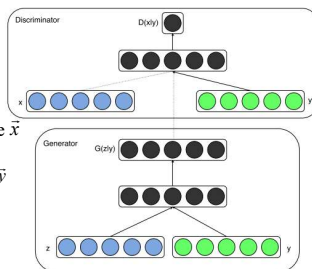
L'idée est d'encoder un vecteur latent \tilde{z} ainsi qu'un **vecteur de classe** « one-hot » \tilde{y}



Mirza, Mehdi & Osindero, Simon. (2014). Conditional Generative Adversarial Nets. arXiv:1411.1784v1

Gan conditionnel

Et de discriminer une image \tilde{x} avec **le même** « one-hot » \tilde{y}



Mirza, Mehdi & Osindero, Simon. (2014). Conditional Generative Adversarial Nets. arXiv:1411.1784v1

Gan conditionnel

GAN de base

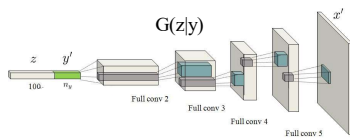
$$\min_G \max_D V(D, G) = \mathbb{E}_{\mathbf{x} \sim p_{\text{data}}(\mathbf{x})} [\log D(\mathbf{x})] + \mathbb{E}_{\mathbf{z} \sim p_z(\mathbf{z})} [\log(1 - D(G(\mathbf{z})))]$$

GAN conditionnel

$$\min_G \max_D V(D, G) = \mathbb{E}_{\mathbf{x} \sim p_{\text{data}}(\mathbf{x})} [\log D(\mathbf{x}|\mathbf{y})] + \mathbb{E}_{\mathbf{z} \sim p_z(\mathbf{z})} [\log(1 - D(G(\mathbf{z}|\mathbf{y})))]$$

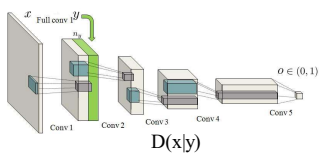
Mirza, Mehdi & Osindero, Simon. (2014). Conditional Generative Adversarial Nets. arXiv:1411.1784v1

Version convolutionnelle



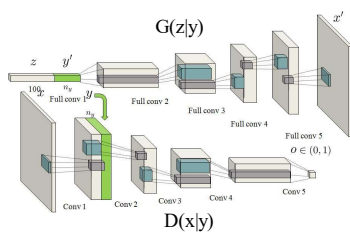
<https://medium.com/@sam.maddrellmander/conditional-dcgan-in-tensorflow-336f8b03b7b6>

Version convolutionnelle

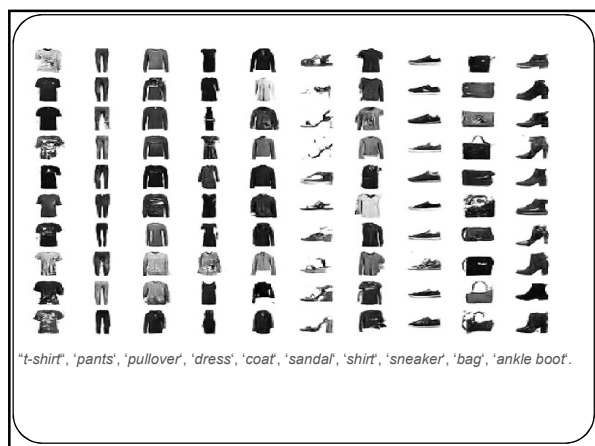


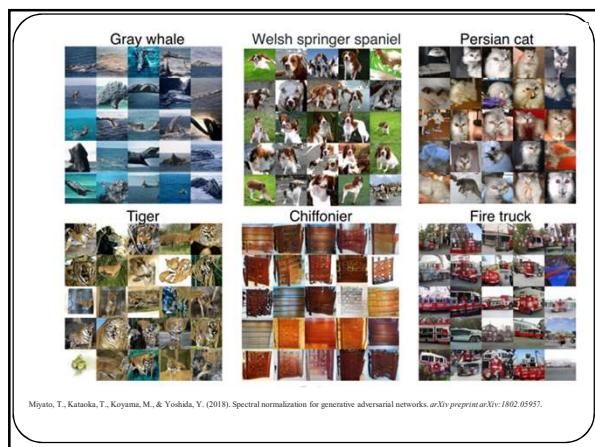
<https://medium.com/@sam.maddrellmander/conditional-dcgan-in-tensorflow-336f8b03b7b6>

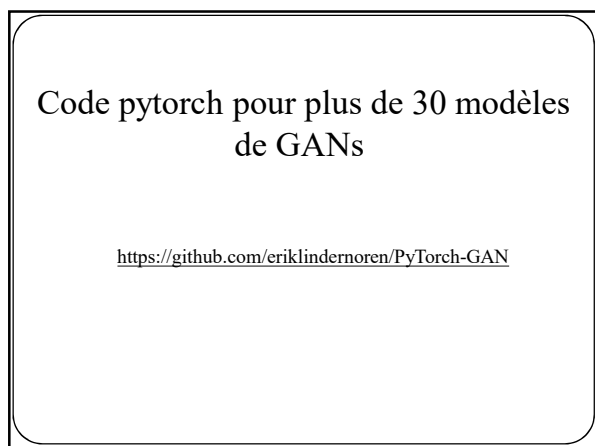
Version convolutionnelle



<https://medium.com/@sam.maddrellmander/conditional-dcgan-in-tensorflow-336f8b03b7b6>







Belle vidéo sur les GANs montrant comment on peut manipuler l'espace latent et comment certains les utilise pour produire des « *deep fake* »

<https://www.youtube.com/watch?v=dCKbRCUyop8>
